

高不可预测性PUF电路设计

Design methodology of Unpredictable Physical Unclonable Functions

报 告 人 唐文懿

导 师 贾嵩

日 期 2016-4-15

内容提要

背景介绍

- 技术背景
- 评价指标
- 相关工作

原理分析

- A-PUF建模
- BRPUF建模
- XOR-PUF建模

新结构介绍

- 电路结构
- 运作机制
- 测试结果

总结

- 工作总结
- 前景展望

技术背景

◆从信息安全说起.....

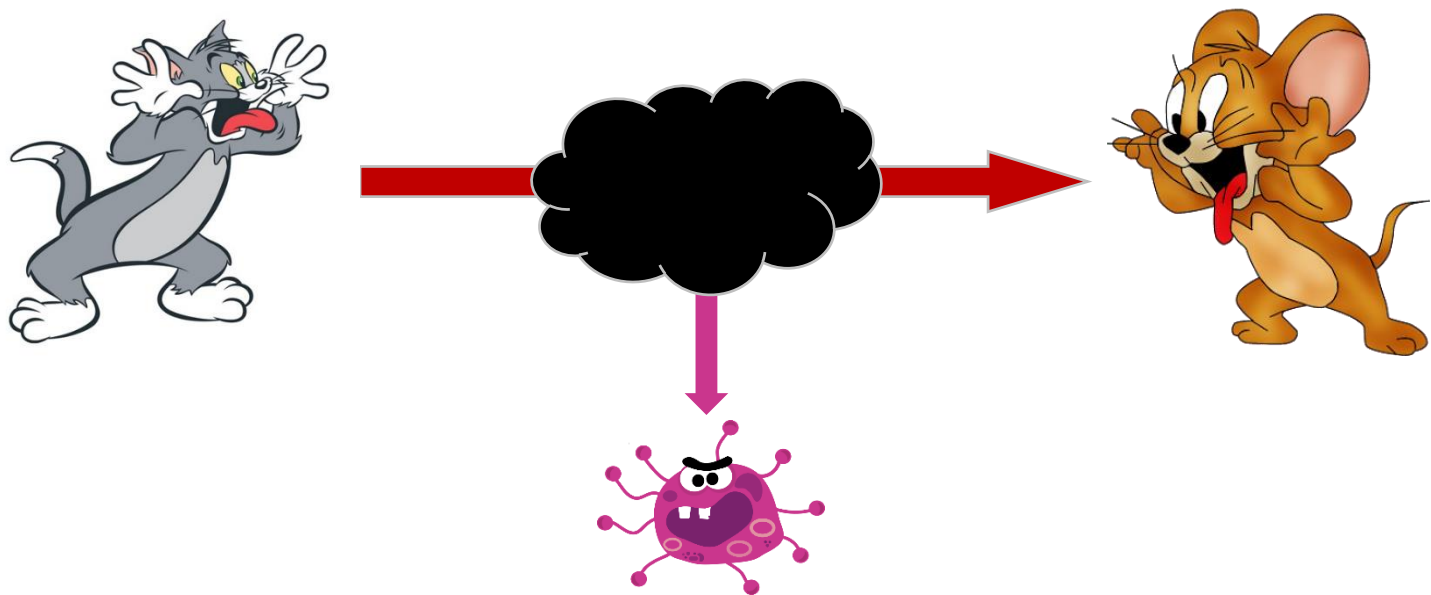
技术背景

◆从信息安全说起.....



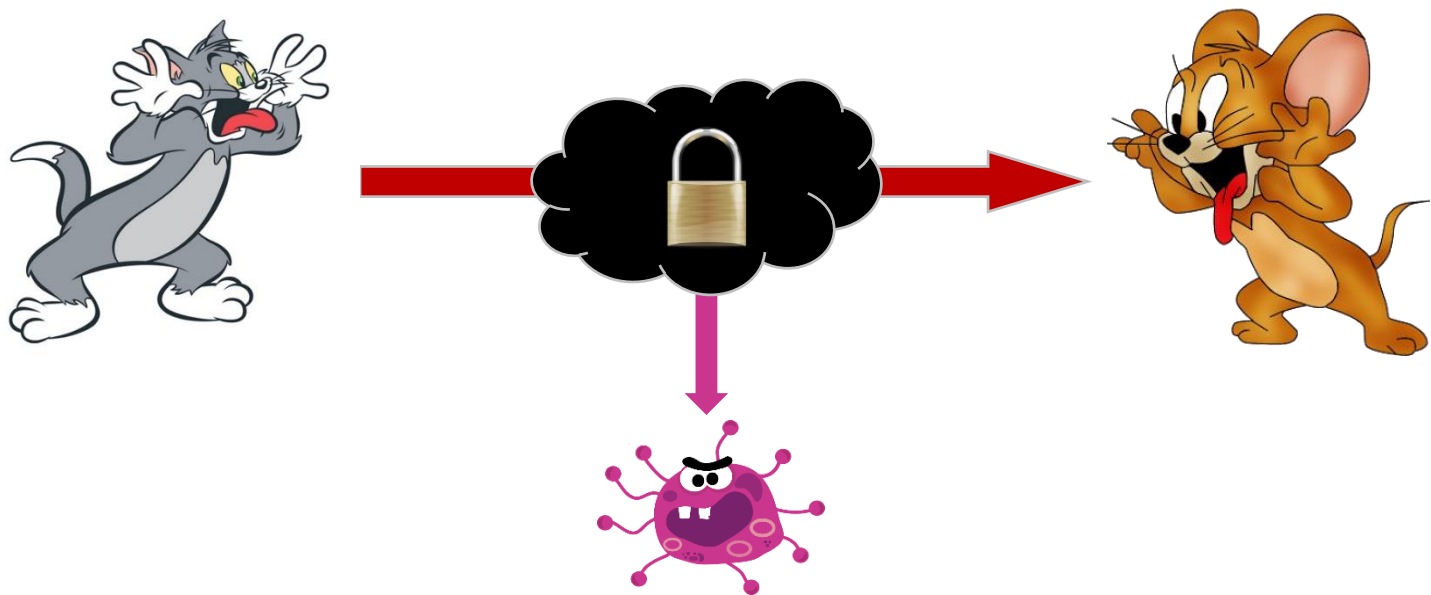
技术背景

◆从信息安全说起.....



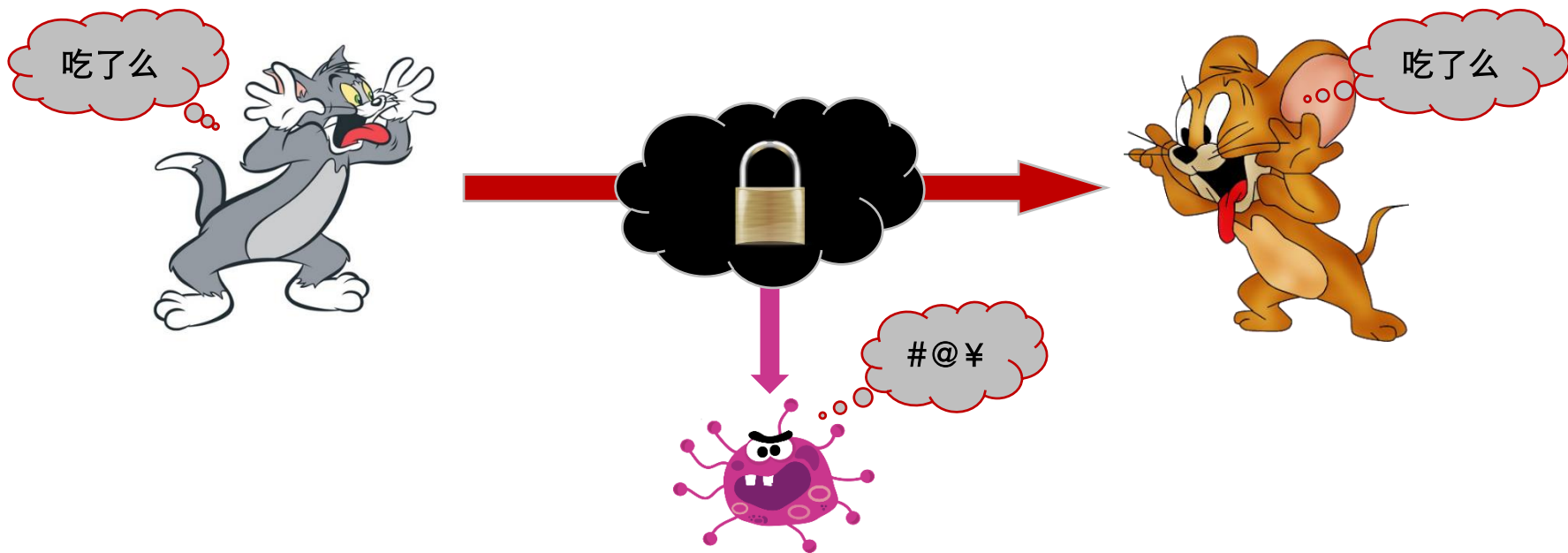
技术背景

◆从信息安全说起.....



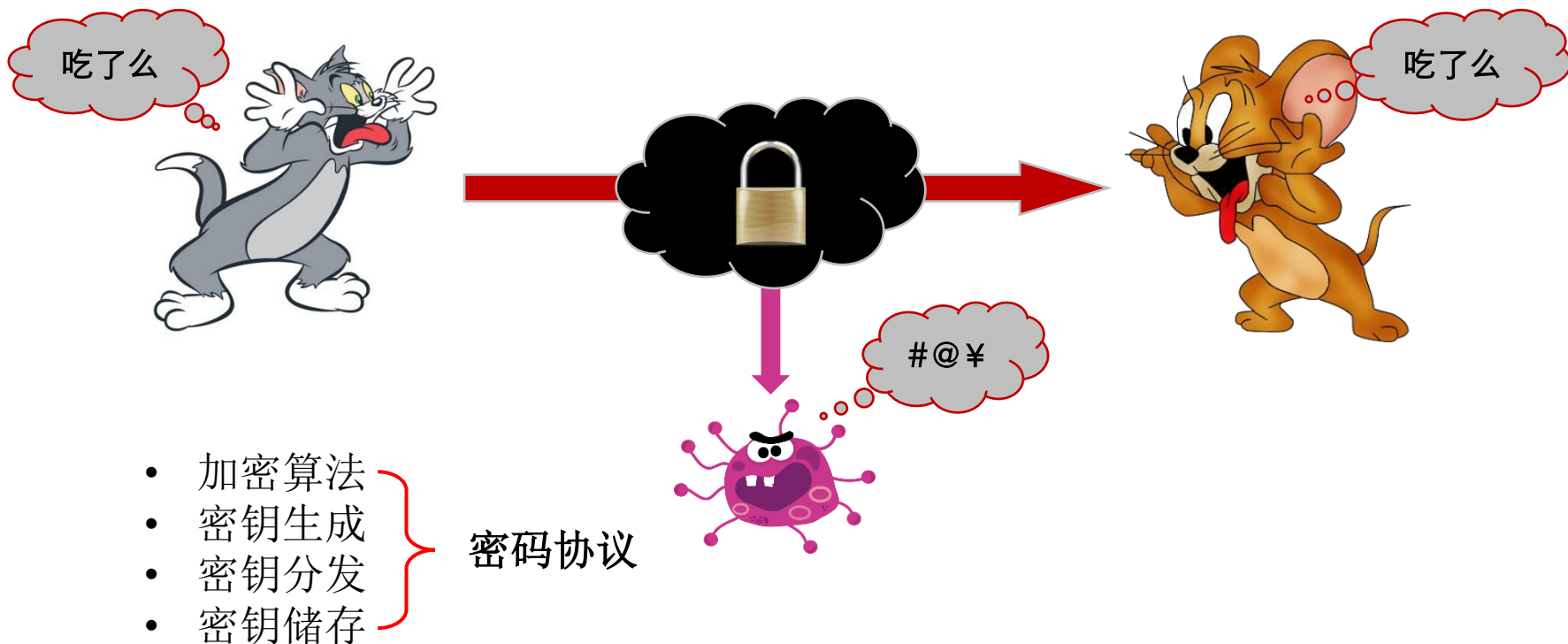
技术背景

◆从信息安全说起.....



技术背景

◆从信息安全说起.....



技术背景

◆ 密码协议的特点:

- 加密便捷
- 信任方解密便捷
- 拦截方解密困难

➤ 单向函数 (HASH)

- $y = f(x_0, x_1, \dots, x_n)$
- $f^{-1}(y) = ?$
- $f^{-1}(y, x_{i \neq key}) = ?$
- $f^{-1}(y, x_{key}) = x_i$

技术背景

◆ 密码协议的特点:

- 加密便捷
- 信任方解密便捷
- 拦截放解密困难

➤ 单向函数 (HASH)

- $y = f(x_0, x_1, \dots, x_n)$
- $f^{-1}(y) = ?$
- $f^{-1}(y, x_{i \neq key}) = ?$
- $f^{-1}(y, x_{key}) = x_i$

- MD5
- SHA
- PJW
- ELF
- EHC
- Trivium
- MicKey
- BKDR
- RSA
- AES
- ECC
- **PUF**

技术背景

◆ 密码协议的特点:

- 加密便捷
- 信任方解密便捷
- 拦截放解密困难

➤ 单向函数 (HASH)

- $y = f(x_0, x_1, \dots, x_n)$
- $f^{-1}(y) = ?$
- $f^{-1}(y, x_{i \neq key}) = ?$
- $f^{-1}(y, x_{key}) = x_i$

- MD5
- SHA
- PJW
- ELF
- EHC
- Trivium
- MicKey
- BKDR
- RSA
- AES
- ECC

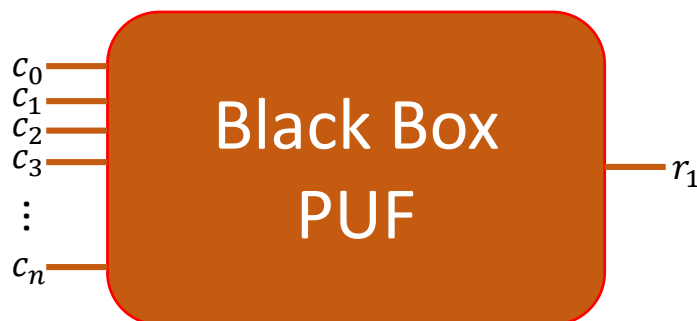
• **PUF**

- 结构简单
- 成本低廉

技术背景

◆ PUF—Physical Unclonable Function (物理不可克隆函数)

- 输入: **Challenge**
- 输出: **Response**
- **CRP: C-R Pairs**



技术背景

◆ PUF—Physical Unclonable Function (物理不可克隆函数)

- 输入: **Challenge**
- 输出: **Response**
- **CRP: C-R Pairs**

✓不可知物理系统

✓观测点



技术背景

◆ PUF—Physical Unclonable Function (物理不可克隆函数)

- 输入: **Challenge**
- 输出: **Response**
- **CRP: C-R Pairs**

✓不可知物理系统
✓观测点



● Weak PUF

- CRP空间小
- 没有对外IO接口

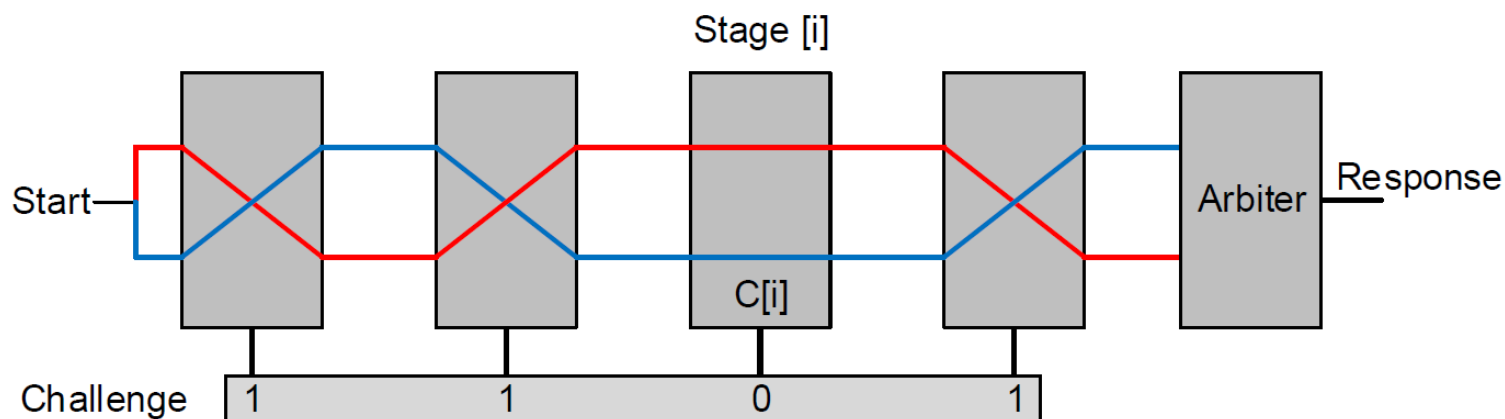
● Strong PUF

- CRP空间极大
- 不可预测性
- 不受保护的对外IO接口

技术背景

◆ PUF在电路中的实现

- 未知物理系统：制作工艺波动
 - 不可控
 - 不可仿真
- 观测点：数字化输出



Arbiter PUF: B. Gassend, "Silicon Physical Random Functions", 2002

评价指标

◆唯一指标——安全性

- 直观？量化？充要性？

- 量化指标——统计特性——安全性必要条件

1. （片内）随机性： $Rand = \frac{1}{N} \cdot \sum^N f(c_i)$

2. （片间）独特性： $Uniq = \frac{2}{M(M-1)} \sum_{i=1}^M \sum_{j=i+1}^M \frac{HD(P_i P_j)}{N}$

3. 可靠性（可重复性）： $Reliability = \frac{1}{MN} \sum_j^M \sum_i^N |f(c') - f(c_i)|$

4. （*）NIST测试（随机数测试标准）

评价指标

◆唯一指标——安全性

- 直观？量化？充要性？
- 量化指标——统计特性——安全性必要条件
 1. （片内）随机性： $Rand = \frac{1}{N} \cdot \sum^N f(c_i)$
 2. （片间）独特性： $Uniq = \frac{2}{M(M-1)} \sum_{i=1}^M \sum_{j=i+1}^M \frac{HD(P_i P_j)}{N}$
 3. 可靠性（可重复性）： $Reliability = \frac{1}{MN} \sum_j^M \sum_i^N |f(c') - f(c_i)|$
 4. （*）NIST测试（随机数测试标准）

◆Strong PUF的不可预测性

- 不能根据CRP某一子集推算出其他子集或全集

评价指标

◆唯一指标——安全性

- 直观？量化？充要性？
- 量化指标——统计特性——安全性必要条件
 1. （片内）随机性： $Rand = \frac{1}{N} \cdot \sum^N f(c_i)$
 2. （片间）独特性： $Uniq = \frac{2}{M(M-1)} \sum_{i=1}^M \sum_{j=i+1}^M \frac{HD(P_i P_j)}{N}$
 3. 可靠性（可重复性）： $Reliability = \frac{1}{MN} \sum_j^M \sum_i^N |f(c') - f(c_i)|$
 4. （*）NIST测试（随机数测试标准）

◆Strong PUF的不可预测性

- 不能根据CRP某一子集推算出其他子集或全集

◆建模攻击

- 利用CRP子集，建立PUF模型，通过特定算法拟合模型参数。
- 参数+模型=CRP全集

相关工作

- ◆ 2002年——Arbiter PUF
- ◆ 2004年——Arbiter PUF建模攻击
- ◆ 2007年——XOR PUF、Lightweight PUF
- ◆ 2010年——XOR建模
- ◆ 2011年——Bistable Ring PUF

相关工作

- ◆ 2002年——Arbiter PUF
- ◆ 2004年——Arbiter PUF建模攻击
- ◆ 2007年——XOR PUF、Lightweight PUF
- ◆ 2010年——XOR建模
- ◆ 2011年——Bistable Ring PUF

本文主要贡献:

- ◆ 建立BRPUF模型，成功实行对其建模攻击；
- ◆ 设计新型Strong PUF方案，使其能够抵御建模攻击。

原理分析

背景介绍

- ☐ 技术背景
- ☐ 评价指标
- ☐ 相关工作

原理分析

- ☐ A-PUF建模
- ☐ BRPUF建模
- ☐ XOR-PUF建模

新结构介绍

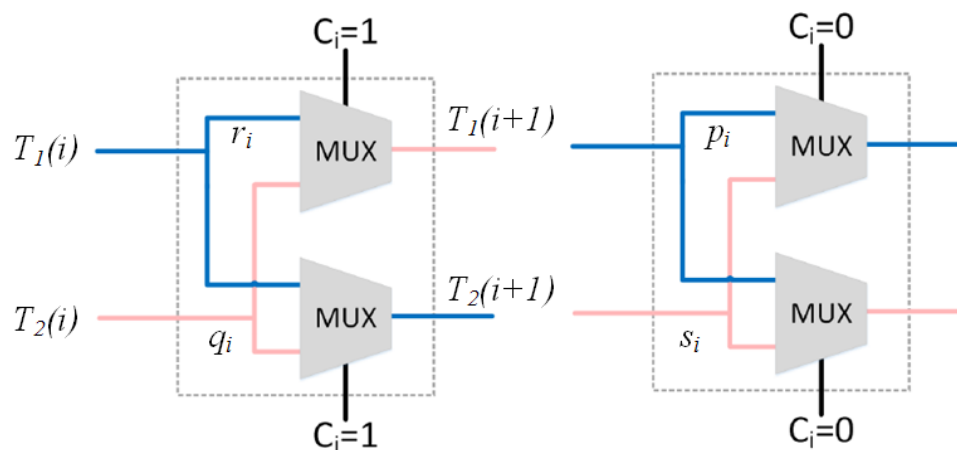
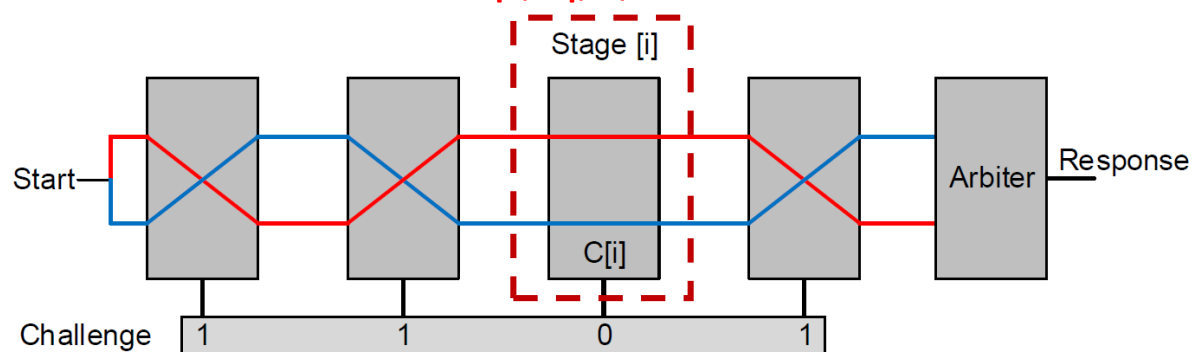
- ☐ 电路结构
- ☐ 运作机制
- ☐ 测试结果

总结

- ☐ 工作总结
- ☐ 前景展望

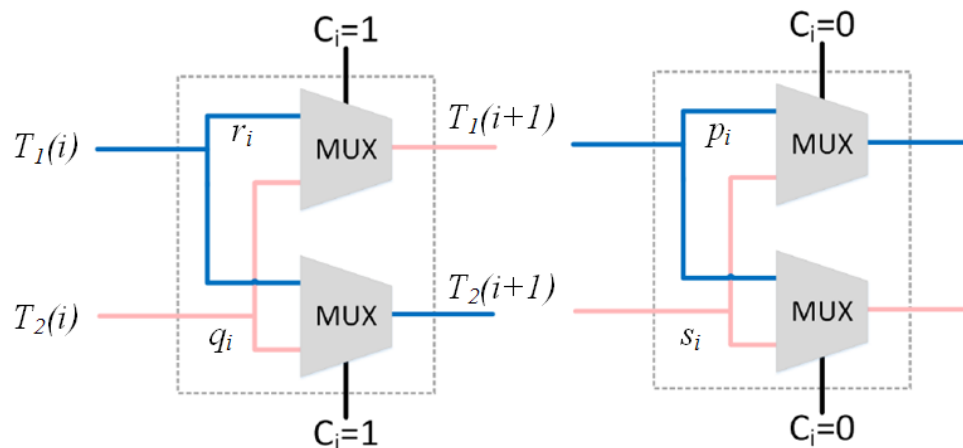
Arbiter PUF建模

◆ 一个交换器4条路径延迟: p, q, r, s



Arbiter PUF建模

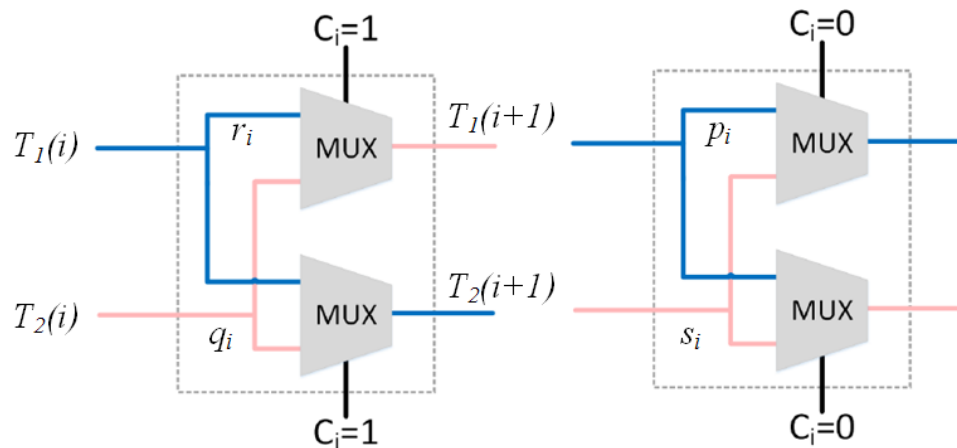
◆ 一个交换器4条路径延迟: p, q, r, s



$$\begin{aligned}
 t_1(i+1) &= \frac{1+c_i}{2}(t_2(i) + r_i) + \frac{1-c_i}{2}(t_1(i) + p_i) \\
 t_2(i+1) &= \frac{1+c_i}{2}(t_1(i) + q_i) + \frac{1-c_i}{2}(t_2(i) + s_i)
 \end{aligned}
 \left. \vphantom{\begin{aligned} t_1(i+1) \\ t_2(i+1) \end{aligned}} \right\} \begin{aligned} &\Delta t(i+1) \\ &= \Delta t(i)c_i + \alpha_i c_i + \beta_i \end{aligned}$$

Arbiter PUF建模

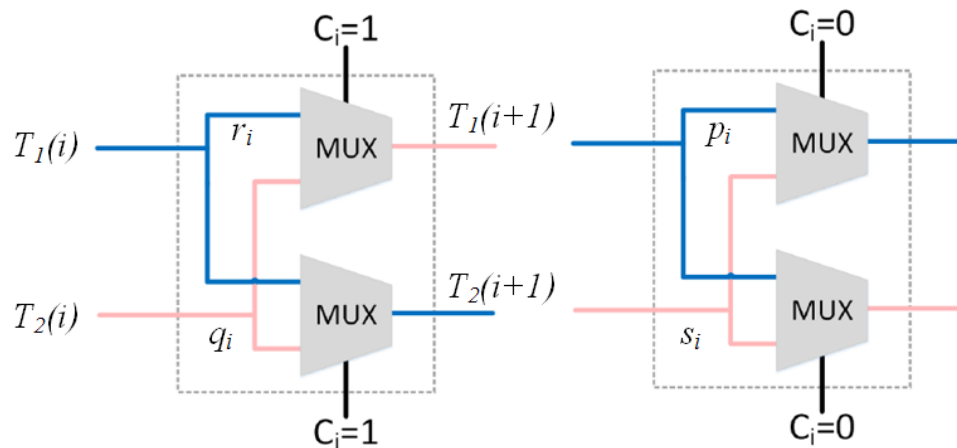
◆ 一个交换器4条路径延迟: p, q, r, s



$$\Delta t(n) = p'd$$

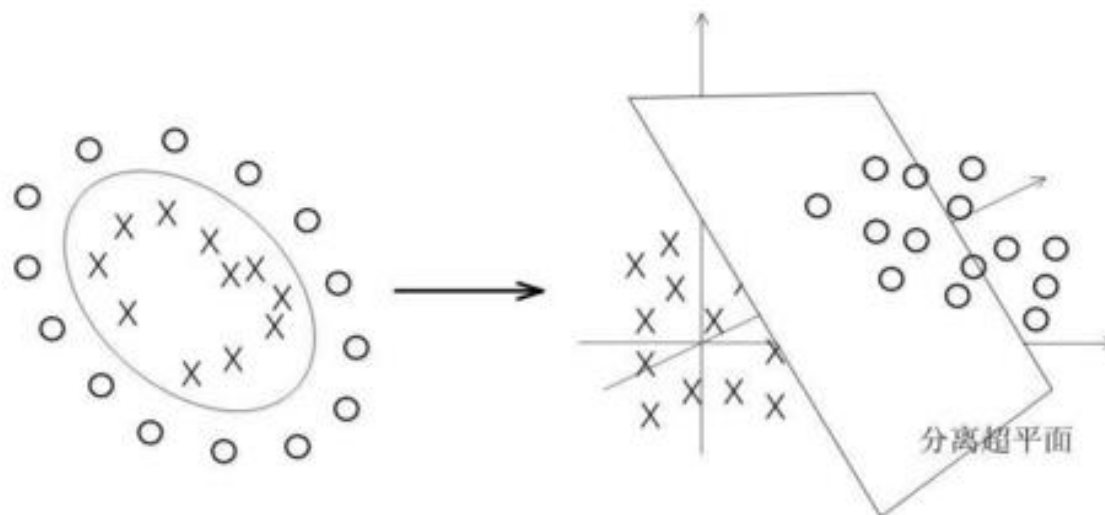
Arbiter PUF建模

◆ 一个交换器4条路径延迟: p, q, r, s



$$\Delta t(n) = p' d \begin{cases} \Delta t(n) > 0 \rightarrow R = +1 \\ \Delta t(n) < 0 \rightarrow R = -1 \end{cases}$$

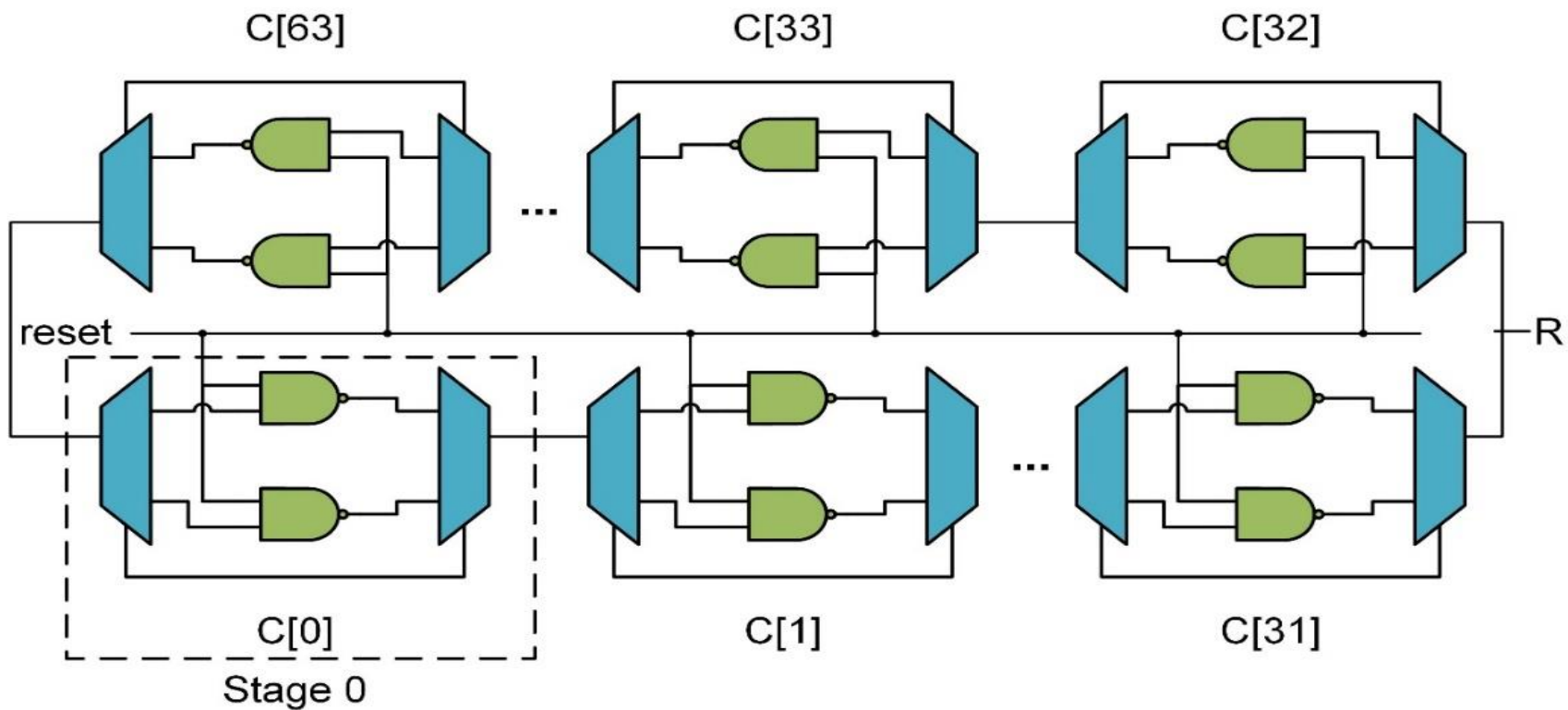
SVM线性分类器



◆ $\Delta t(n) = p'd$

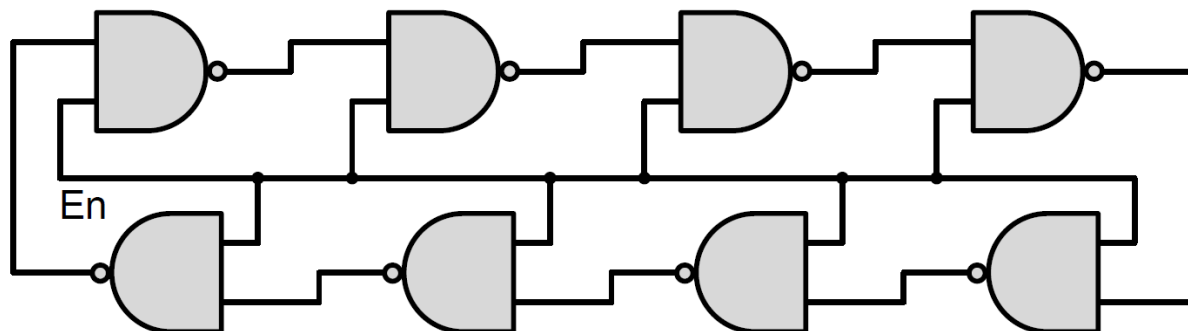
- N维空间线性可分
- 分界线——超平面
- SVM——求解超平面解析式 $p'd = 0$
- $d \rightarrow p, q, r, s$

BR-PUF建模



Q. Chen, *HOST 2011*, pp 134-141

BR-PUF建模



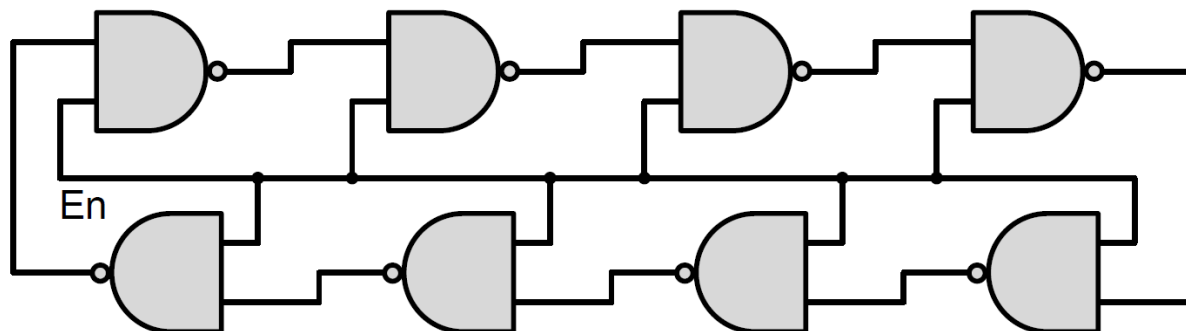
◆ NAND: 上升沿--下降沿延迟 tr , 下降沿--上升沿延迟 tf

◆ W: 周期信号占空比

$$W_{i+1} = W_i + \frac{tf_i - tr_i}{T} (-1)^i$$

$$W \in [0,1]$$

BR-PUF建模



◆ NAND: 上升沿--下降沿延迟 tr , 下降沿--上升沿延迟 tf

◆ W: 周期信号占空比

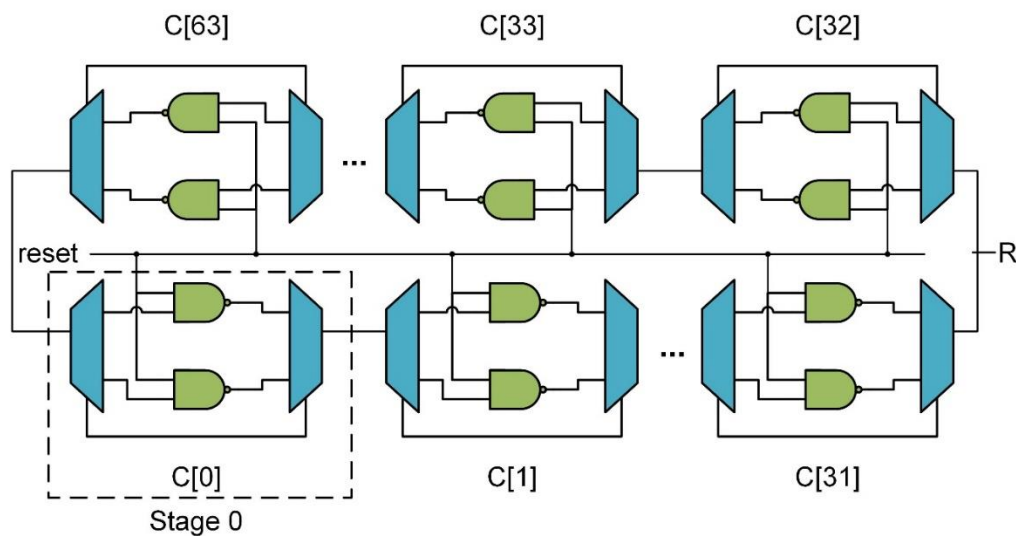
$$W_{i+1} = W_i + \frac{tf_i - tr_i}{T} (-1)^i$$

$$W \in [0,1]$$

$$W > 1 \rightarrow R = 1; W < 0 \rightarrow R = 0$$

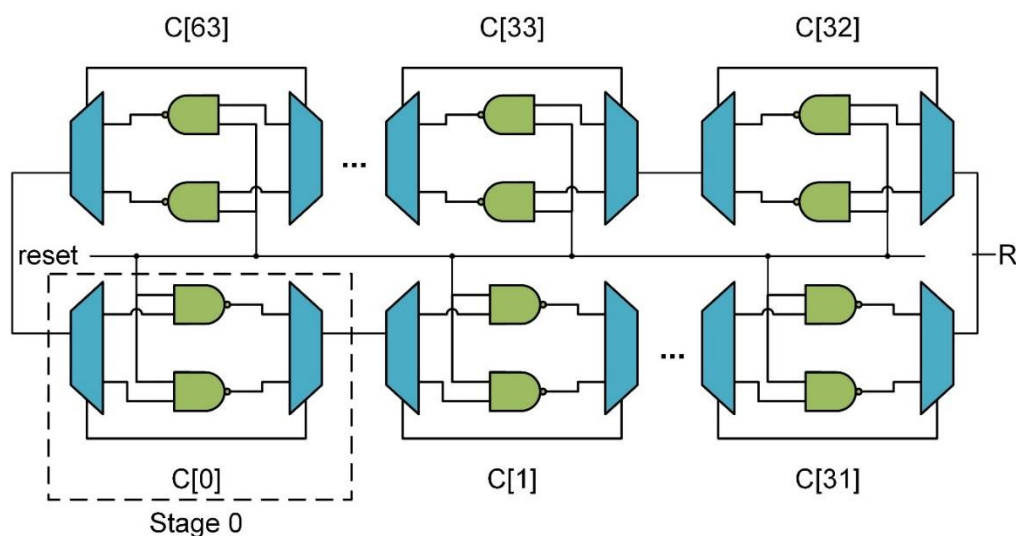
BR-PUF建模

◆ 每级两个与非门tr, tf设为p, q, r, s



BR-PUF建模

◆ 每级两个与非门tr, tf设为p, q, r, s



$$R = \text{sgn} \left(\sum_i^N (-1)^i \left(\frac{1 + c_i}{2} (p_i - q_i) + \frac{1 - c_i}{2} (r_i - s_i) \right) \right)$$

$$= \text{sgn}(\sum (\alpha_i c_i + \beta_i)) = \text{sgn}(p' d)$$

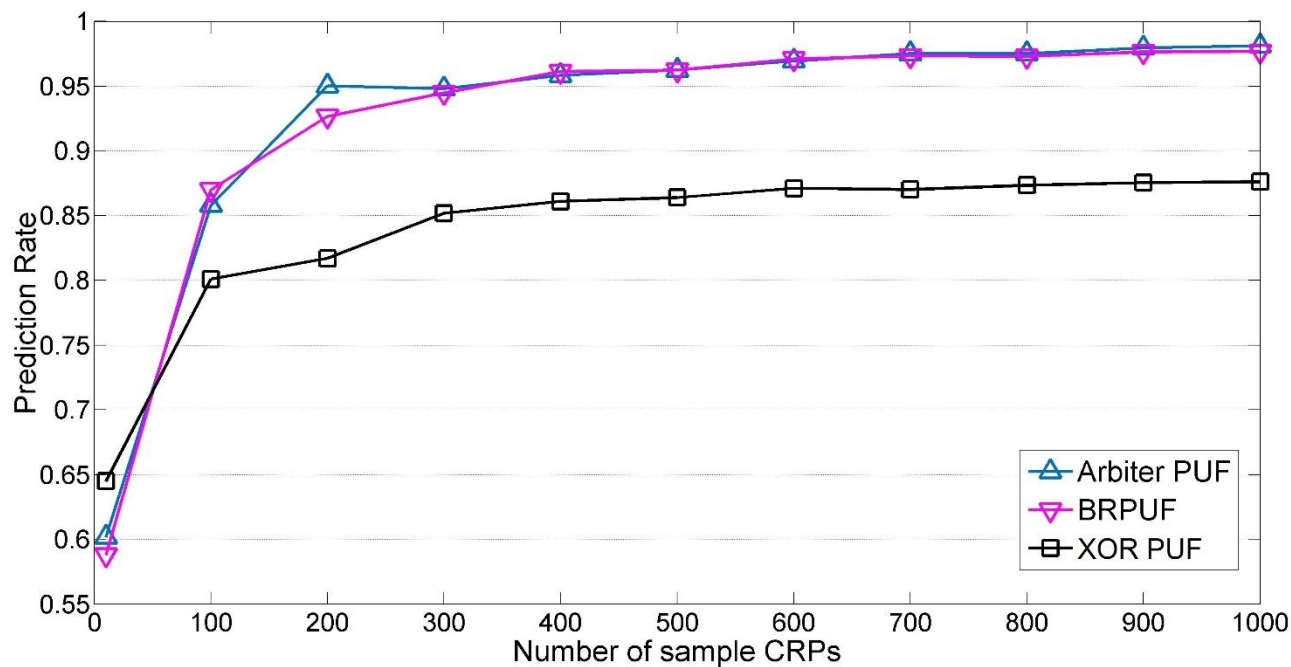
XOR-PUF建模

$$\blacklozenge R = r_1 \oplus r_2 = p'd_1 \times p'd_2$$

XOR-PUF建模

$$\blacklozenge R = r_1 \oplus r_2 = p'd_1 \times p'd_2$$

片内分布仿真曲线



新结构介绍

背景介绍

- ☐ 技术背景
- ☐ 评价指标
- ☐ 相关工作

原理分析

- ☐ A-PUF建模
- ☐ BRPUF建模
- ☐ XOR-PUF建模

新结构介绍

- ☐ 电路结构
- ☐ 运作机制
- ☐ 测试结果

总结

- ☐ 工作总结
- ☐ 前景展望

Strong PUF设计指标

高不可预测性PUF

◆主要指标:

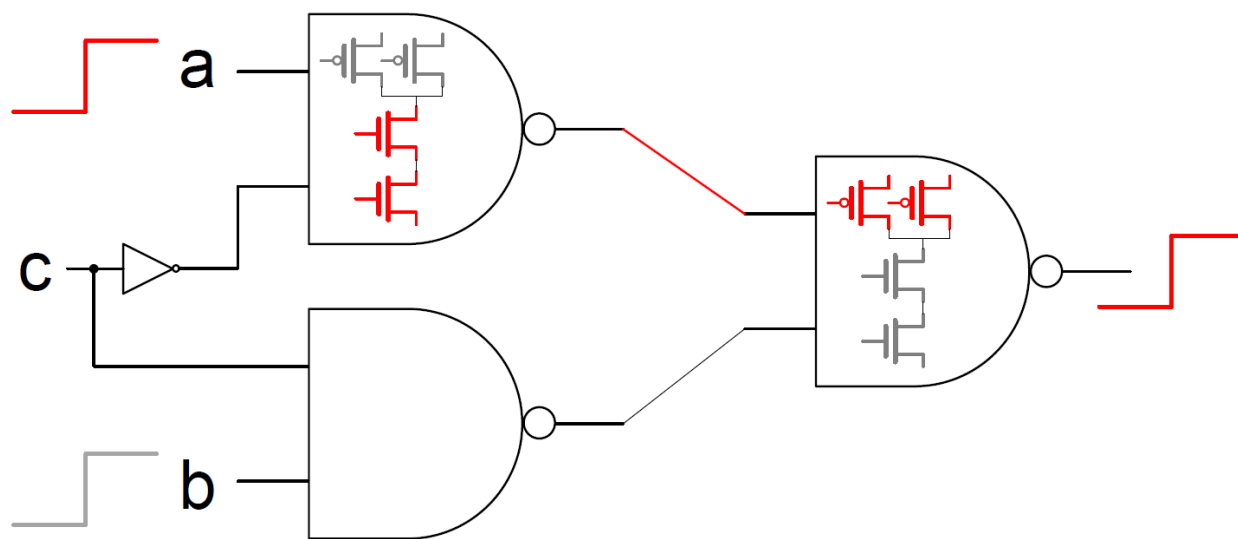
- 最小线性可分维度 $n \rightarrow +\infty$
- 片内分布 $\mu \rightarrow 0.5, \sigma \rightarrow 0$
- 片间分布 $\mu \rightarrow 0.5, \sigma \rightarrow 0$ (工艺相关)

◆次要指标:

- 面积开销
- 激励——响应速度

交换器逻辑结构

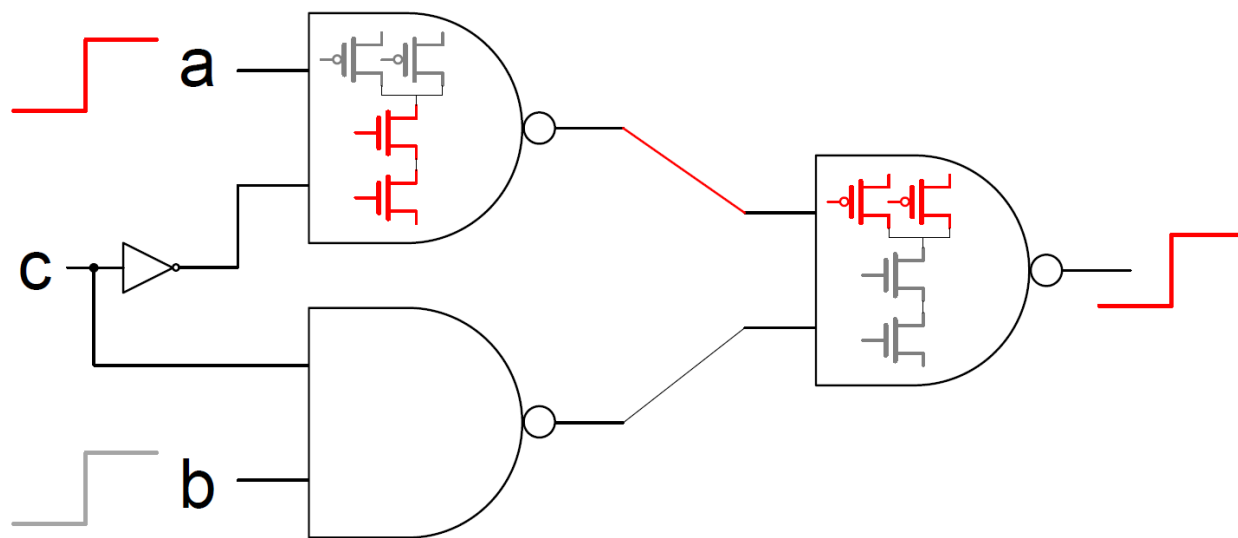
◆ 交换器实现细节



交换器逻辑结构

◆ 交换器实现细节

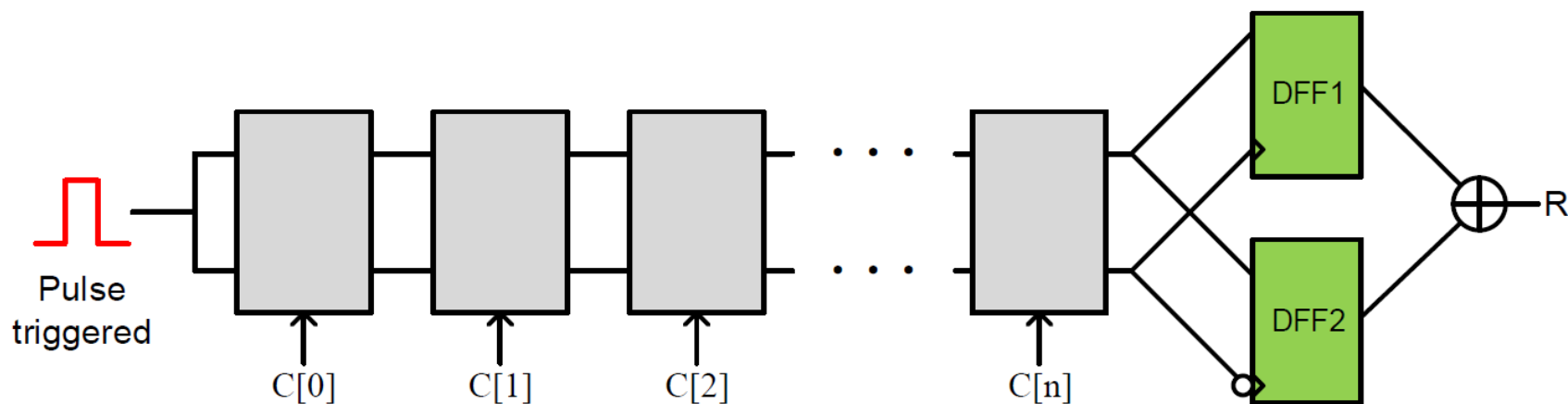
- 驱动上升沿/下降沿是不同MOS管



PA-PUF

◆ Pulse Arbiter PUF

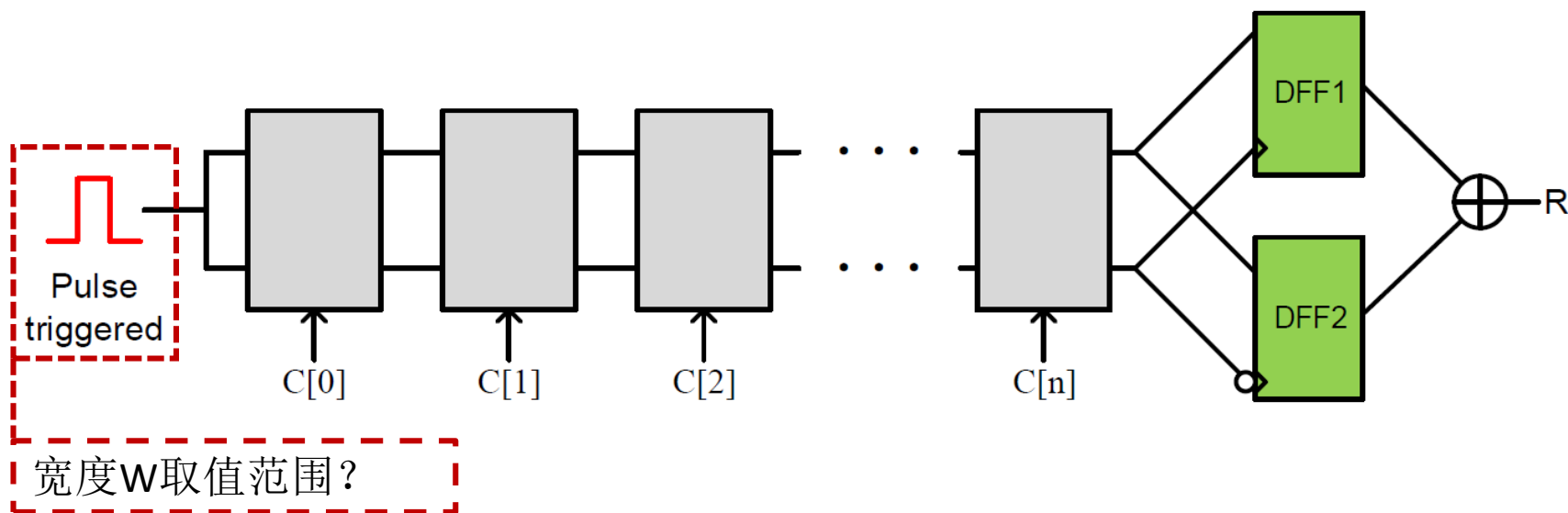
- DFF1—正边沿触发
- DFF2—负边沿触发
- $R = Q_1 \oplus Q_2$



PA-PUF

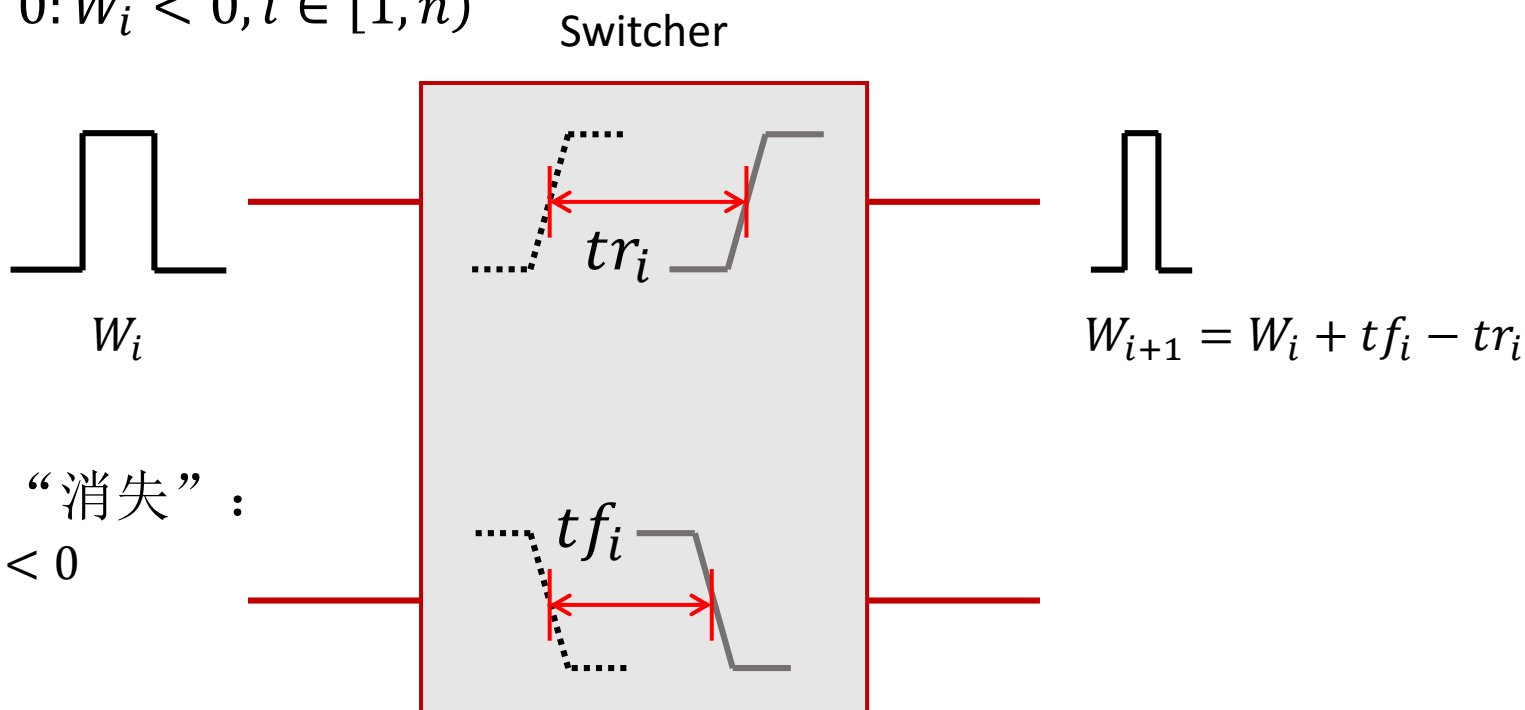
◆ Pulse Arbiter PUF

- DFF1—正边沿触发
- DFF2—负边沿触发
- $R = Q_1 \oplus Q_2$



脉冲信号传递

- ◆ $W \rightarrow +\infty$: 一般情况
- ◆ $W \rightarrow 0$: 信号无法传递
- ◆ $W \sim 0$: $W_i < 0, i \in [1, n)$



- ◆ 信号“消失”:
 - $W < 0$

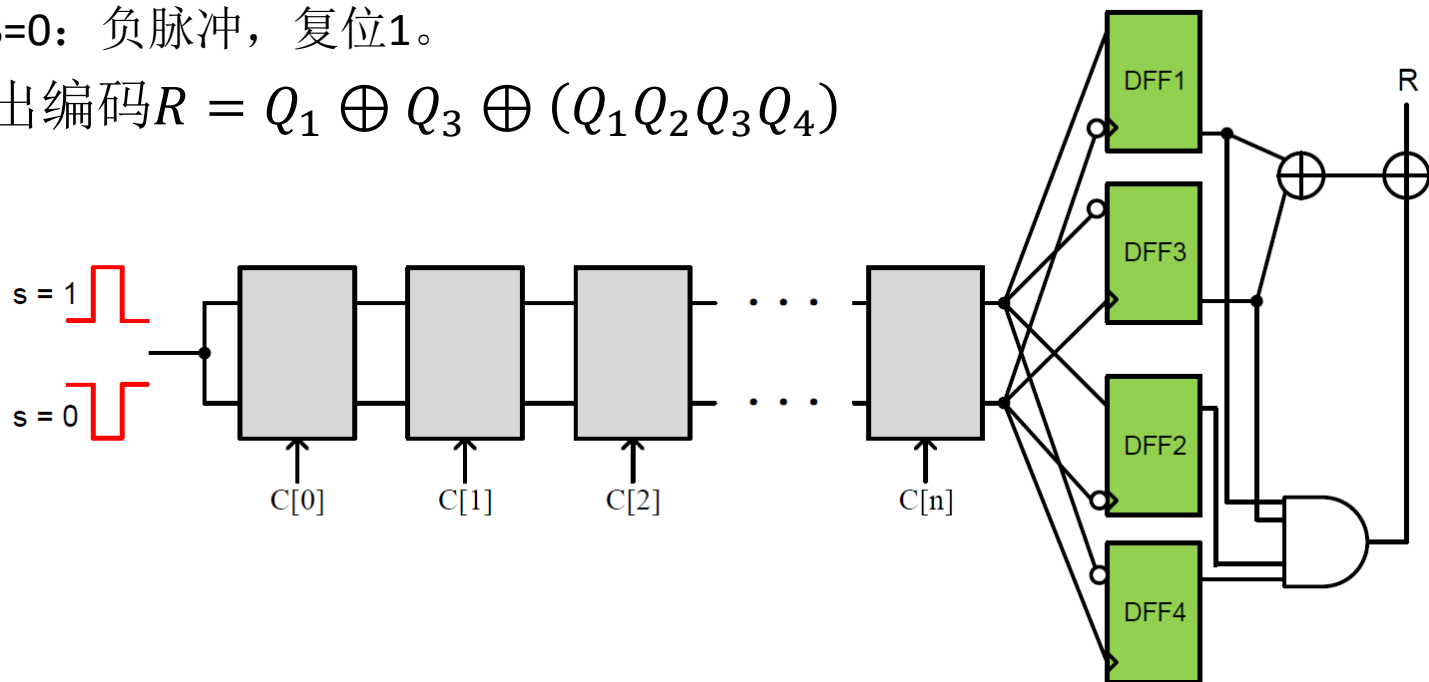
RPA-PUF

随机脉冲PUF

◆ 随机码s:

- S=1: 正脉冲, 复位0;
- S=0: 负脉冲, 复位1。

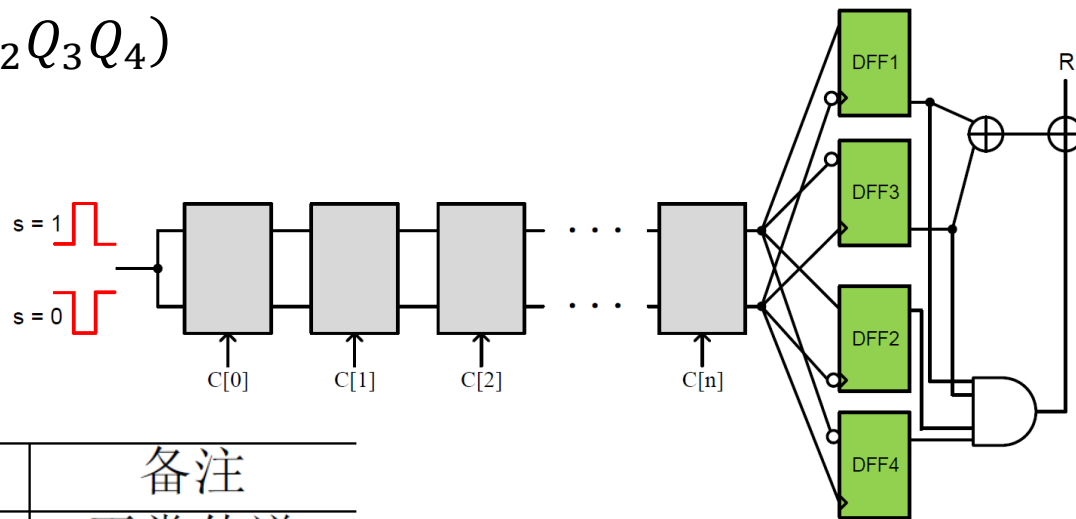
◆ 输出编码 $R = Q_1 \oplus Q_3 \oplus (Q_1 Q_2 Q_3 Q_4)$



RPA-PUF

◆ $R = Q_1 \oplus Q_3 \oplus (Q_1 Q_2 Q_3 Q_4)$

- 均不“消失”；
- “消失”其一；
- 均“消失”。

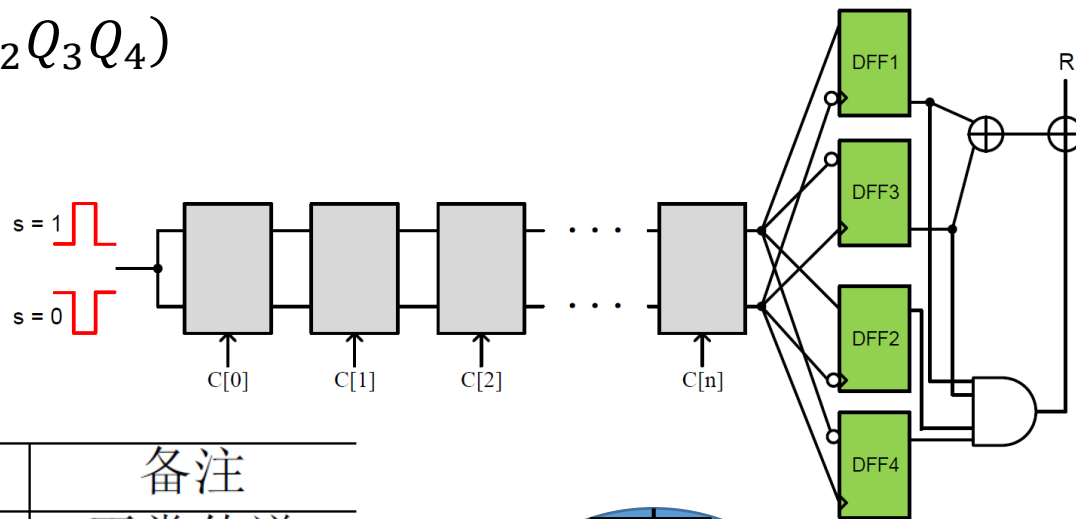


s	Q_1	Q_2	Q_3	Q_4	备注
x	0	1	0	1	正常传递
x	0	1	1	0	正常传递
x	1	0	0	1	正常传递
x	1	0	1	0	正常传递
1	1	1	1	1	负脉冲消失
0	0	0	0	0	正脉冲消失

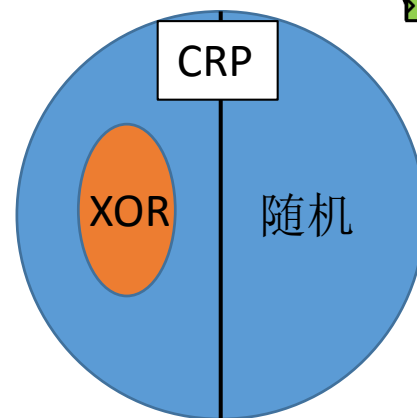
RPA-PUF

◆ $R = Q_1 \oplus Q_3 \oplus (Q_1 Q_2 Q_3 Q_4)$

- 均不“消失”；
- “消失”其一；
- 均“消失”。



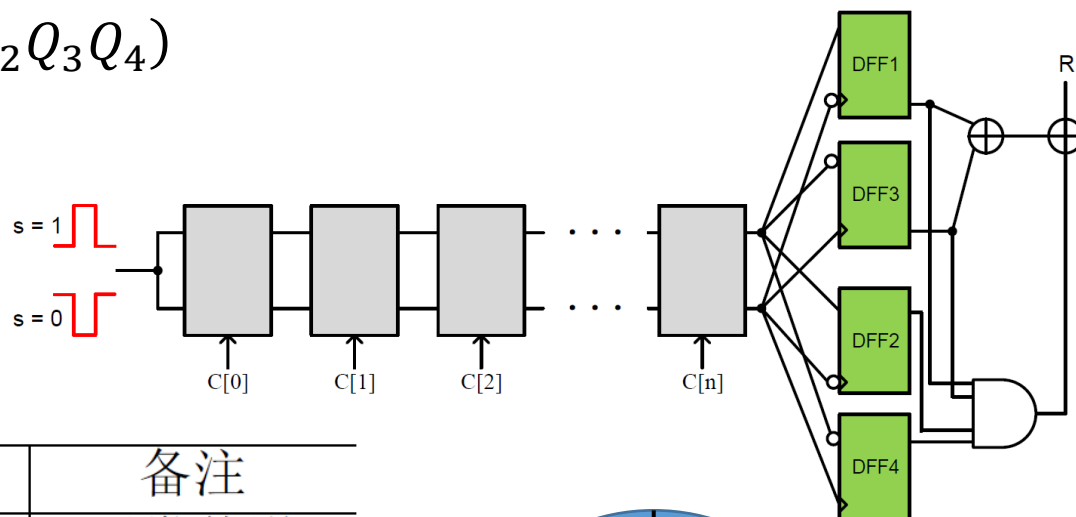
s	Q_1	Q_2	Q_3	Q_4	备注
x	0	1	0	1	正常传递
x	0	1	1	0	正常传递
x	1	0	0	1	正常传递
x	1	0	1	0	正常传递
1	1	1	1	1	负脉冲消失
0	0	0	0	0	正脉冲消失



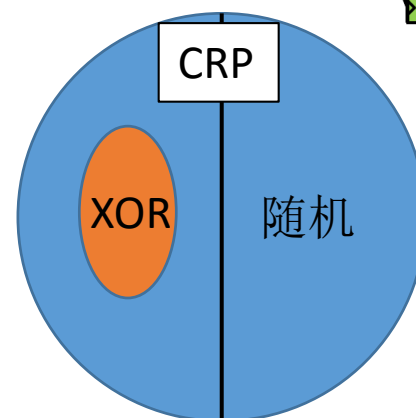
RPA-PUF

◆ $R = Q_1 \oplus Q_3 \oplus (Q_1 Q_2 Q_3 Q_4)$

- 均不“消失”；
- “消失”其一；
- 均“消失”。



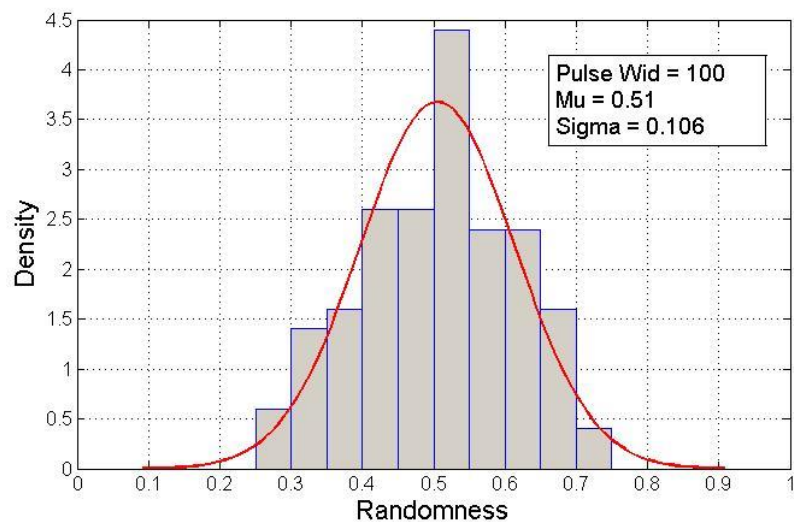
s	Q_1	Q_2	Q_3	Q_4	备注
x	0	1	0	1	正常传递
x	0	1	1	0	正常传递
x	1	0	0	1	正常传递
x	1	0	1	0	正常传递
1	1	1	1	1	负脉冲消失
0	0	0	0	0	正脉冲消失



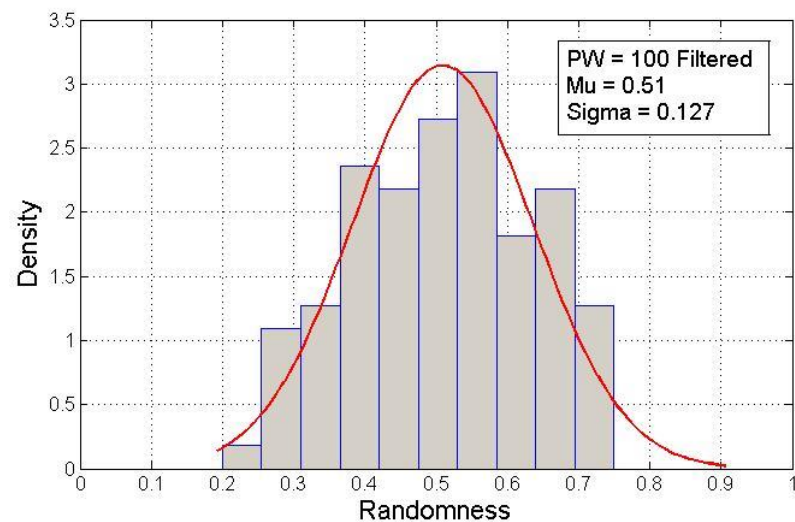
多次采样，
舍弃随机
响应

实验结果

◆ 单次采样：=XOR+随机掩码



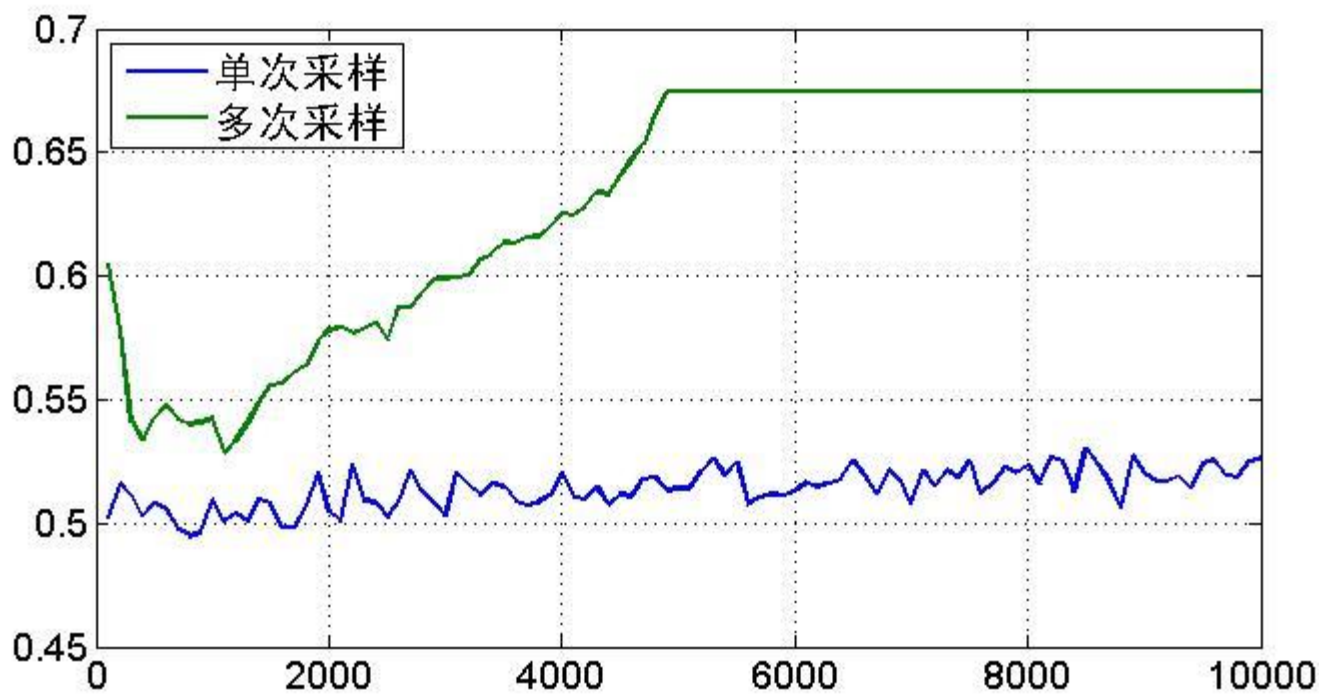
◆ 多次采样：近似XOR



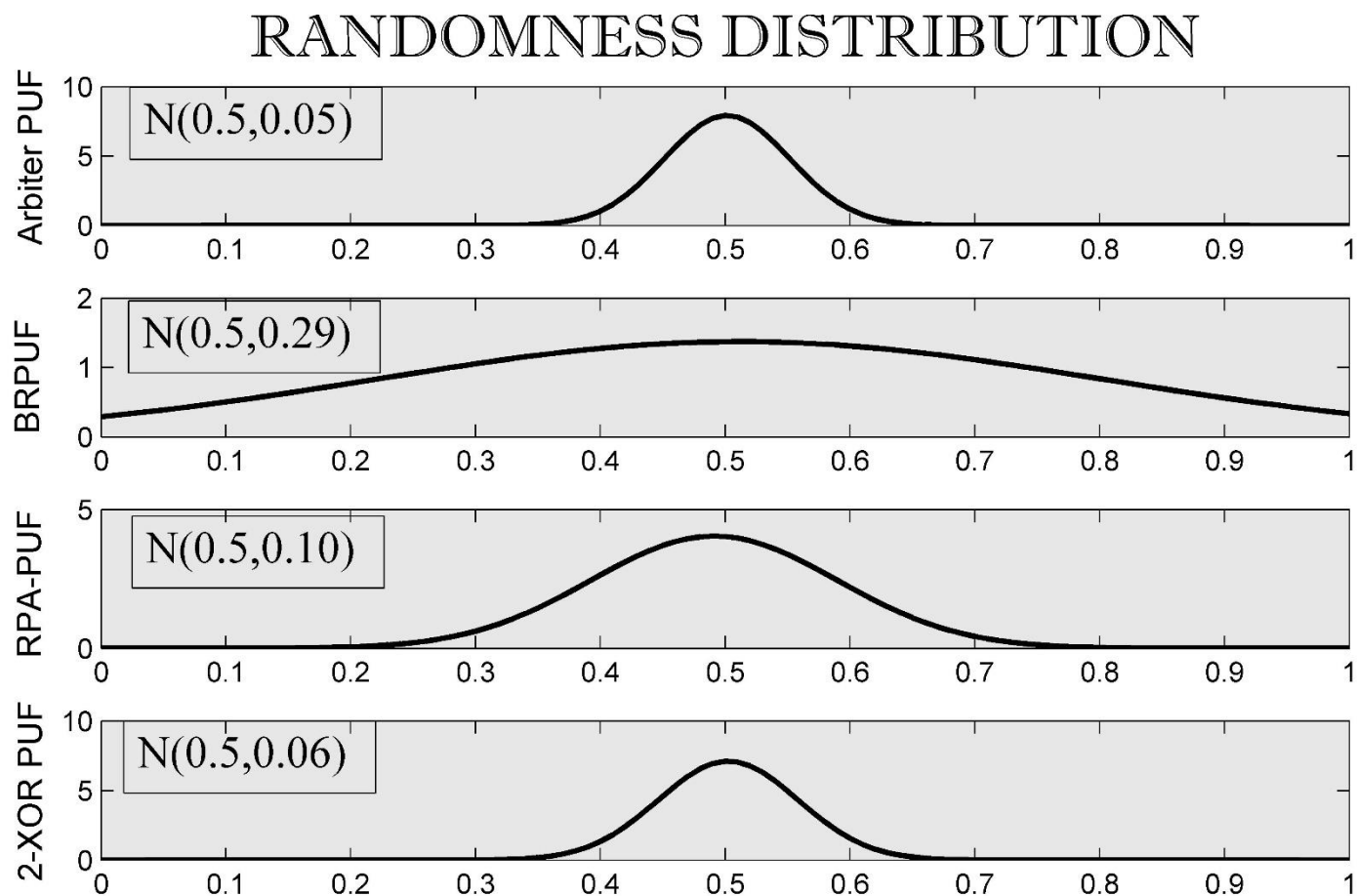
RPA-PUF建模攻击

◆ SVM结果

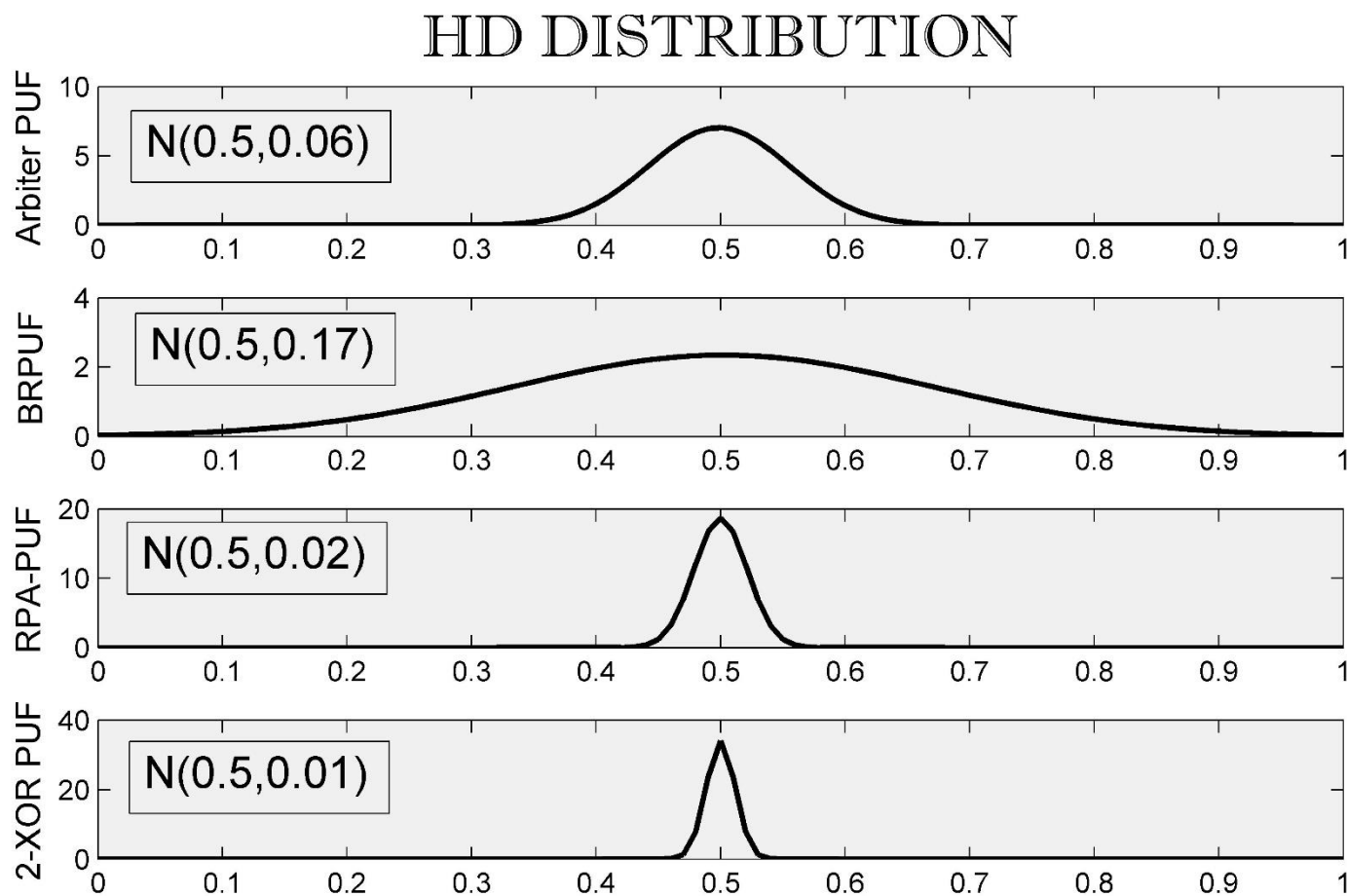
- RPAPUF使用XOR模型



随机性分布对比



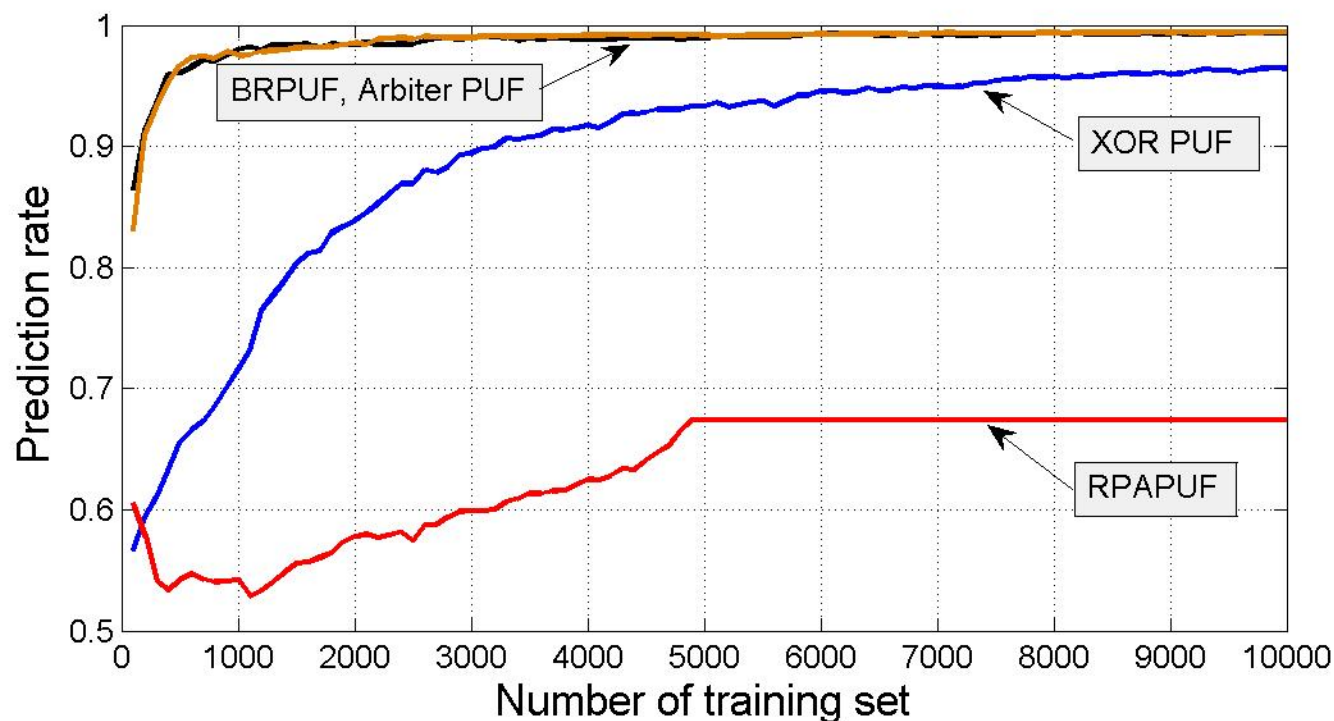
独特性分布对比



建模攻击结果对比

◆ SVM结果

- RPAPUF使用XOR模型



结论

主要贡献：

- ◆对BRPUF结构建立模型，并成功实施建模攻击；
 - 预测率>99%
 - 训练集<5000 CRPs
- ◆提出新型PUF结构；
 - 具有良好的抗建模攻击性
 - 具有良好的统计分布特性

展望：

- ◆PUF高层次应用：协议
- ◆流片实现以及PVT变化分析

主要参考文献

- [1] Ravikanth Pappu, Ben Recht, Jason Taylor *et al.* *Physical one-way functions*. American Association for the Advancement of Science, **2002**: 2026–2030.
- [2] Blaise Gassend, Dwaine Clarke, Marten Van Dijk *et al.* *Silicon physical random functions*, **2002**: 148–160.
- [3] Daihyun Lim, Jae W Lee, Blaise Gassend *et al.* *Extracting secret keys from integrated circuits*. IEEE, **2005**: 1200–1205.
- [4] Qingqing Chen, György Csaba, Paolo Lugli *et al.* “*The bistable ring puf: A new architecture for strong physical unclonable functions*”. In: *Hardware-Oriented Security and Trust (HOST), 2011 IEEE International Symposium on*, **2011**: 134–141.
- [5] Qingqing Chen, György Csaba, Paolo Lugli *et al.* “*Characterization of the bistable ring PUF*”. In: *Design, Automation & Test in Europe Conference & Exhibition (DATE), 2012*, **2012**: 1459–1462.